

## II-86 好気性脱室機構に関する基礎的研究

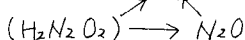
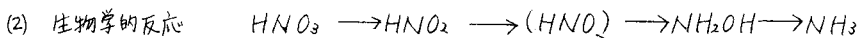
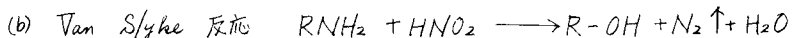
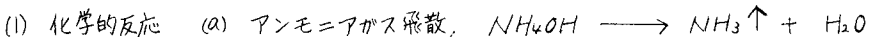
山口 大工・正石川 宗孝  
 " 正中西 弘  
 " 学水船 清司

### 1はじめに

筆者等は酸化槽における脱室現象について種々取り上げてきたが、その脱室機構についてはおおよそ是明らかなになってきた。しかしながら、細部の検討が多く残っている。本報文においては、これまでの好気性脱室現象の実験結果から、その機構解析について総括し検討すべき問題点を探った。新しい試みとして、排气ガス分析、化学反応説の検討等を行ない、脱室機構を探ったので報告する。

### 2好気性脱室機構

現在、好気性脱室現象として次のようないくつかの反応機構が考えられる。



これらの反応機構において脱室現象の大半は生物学的反応であることが明らかになりつつあるが、この生物学的反応において、その要因となる説として、(1)曝氣槽内が局部的に嫌気状態となり、ここで脱室するという部分的嫌気説 (2)活性汚泥フロック内部が嫌気的状態を呈しており、この中に脱室する、(3)好気状況下での硝酸、亜硝酸呼吸説等の説が言わわれている。

### 3半連續実験よりの解析

半連續方式の実験においてTN除去率が80%示す実験条件において、N飛散量(万kg)の経時変化を調べると図1に示す結果となり、また、この時のDO, ORP変化をみると図2に示す結果となった。これは原水投入直後から曝氣槽内は嫌気的雰囲気となり、この時に大半が脱室されるものと考えられ、槽内の部分的嫌気説を裏付ける結果となった。しかし、この槽の特徴として、原水投入1時間後には投入前に存在したNO<sub>2</sub>, <sub>3</sub>-Nが全部脱室され、投入1時間後から硝化、脱室の両反応が並行的に進行していることである。これが、一般的な硝化槽と脱室槽の反応機構ではみられない点である。

### 4動力学的解析

半連續の実験条件の結果から適宜な範囲をもつ条件下において曝氣槽内においても脱室現象が認められた。これを基礎として、バッキ実験による動力学的解析を試みた。

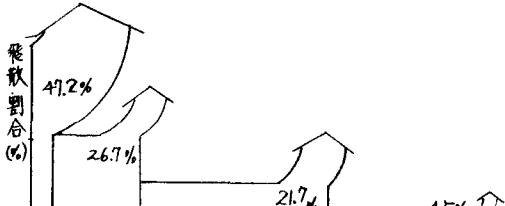


図1 N飛散量経時変化(半連續実験)

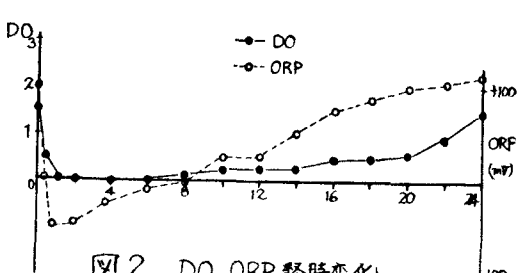
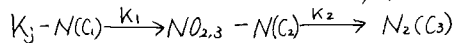


図2 DO, ORP 経時変化

好気性脱室とは同一槽内において、硝化と脱室が並行して進行していることであり次のようになされた。



$$\frac{1}{S} \cdot \frac{dC_1}{dt} = -K_1 \quad (1) \quad C_{1,2,3}: 各N濃度(ppm)$$

$$\frac{1}{S} \cdot \frac{dC_2}{dt} = K_1 - K_2 \quad (2) \quad K_1, K_2: 反応速度定数 \\ (ppm/ppm hr)$$

$$\frac{1}{S} \cdot \frac{dC_3}{dt} = K_2 \quad (3) \quad S: MLSS(ppm)$$

表1 速度定数比較一例  $C_0 = 887$   $\mu\text{g}/\text{ml}$

時間(分)	$ K_1 $	$ K_2 $	$K_1 - K_2$	$NO_{2,3}-N$
0 ~ 1hr	0.219	2.755	-2.536	-2.536
1 ~ 6hr	0.203	0.135	0.008	0.004
6 ~ 13hr	0.397	0.014	0.383	0.358
13 ~ 24hr	0.013	0.026	-0.013	-0.011

$NO_{2,3}-N$ の経時変化を追えば、反応経過時間とそれぞれ硝化時、脱室時、硝化脱室平衡時に分けることができ、それぞれの時間帯において  $K_1, K_2$  は直線式で表わされ零次反応式と仮定した。(1), (3)式より  $K_1, K_2$  を決定し、(2)式に代入した。この値と  $NO_{2,3}-N$  の速度定数の実際値を比較し、ある程度一致をみた。これは好気性脱室反応の機構は曝気槽のどの部分においても、硝化、脱室反応を行なっており、硝化、脱室の連続反応で表わすことが定義づけられる。

## 5 化学的反応説

化学反応により空中へ飛散する成分に  $NH_3$  があるがこれは値が8以上の高い時ののみ生成する反応であり、硝化作用のある範囲内においては生しないことがわかった。また、  $NO_2-N$  が多量に存在する時には化学反応的に脱室するという説があり、今回、PH,  $NO_2-N$  濃度、攪拌、曝気等を変え、水溶液中で実験を行なった結果、PH3以下のみにおいて Van Slyke 反応が認められた。このことから曝気槽におけるPHは常時6~8付近で運転されており、曝気槽における脱室現象が化学的反応により生起するとは言えないことがわかった。

## 6 飛散する窒素成分

これまでの研究においては主に水溶液の分析を通しての実験結果から物質収支をとりその差を脱室量とした研究がほとんどであり、飛散成分までは言及されていない。とくに、曝気槽において空気曝気を行うことは多量の  $N_2$  成分が存在するため飛散成分の測定は困難である。そのため、混合ガス ( $Ar 79\%, O_2 21\%$ ) で曝気し、その飛散成分をガスクロマトグラフィーにより測定し検討した。飛散成分の一例を図3に示す。この図にも示されるように飛散N成分は  $N_2$  と  $N_2O$  であり他成分は検出されなかった。大部分の脱室は  $N_2$  成分であり、  $N_2O$  ガスとしての飛散は全重量の15%程度である。

## 7 総括

以上から好気性脱室機構についてまとめると、好気性脱室とは酸化槽のどの部分においても硝化作用と脱室作用の両反応が連続的に進んでいる作用であると結論付けられる。これは硝化槽による硝化作用、脱室槽による脱室作用とそれぞれ独立した反応とは根本的に異なる。また、脱室現象の要因となる説としては部分的嫌気説が有力であり、この流入端の嫌気部で脱室する  $N$  は好気部で硝化されに  $N$  が施回流あるいは循環流により流入し、脱室する  $N$  と嫌気部で硝化・脱室する  $N$  の总量を考えられ、脱室する  $N$  量の大半を占めている。

一方、飛散する  $N$  成分のうち大部分は  $N_2$  であり、  $N_2O$  は全重量の15%程度を示した。

## 8 おわりに

好気性脱室現象が化学的反応によるものではなく、生物学的反応によるものであることがわかった。さらに、大部分は部分的嫌気部での脱室であることがわかつたが、純好気部での脱室現象はわずかではあるが存在しており、この要因はわかつていない。今後、槽内DO分布、フロック粒径、脱室菌等を調べ解析する必要がある。

本研究の一部は文部省科学研究費(奨励研究(A) 課題番号 575361)補助によることを付記する。

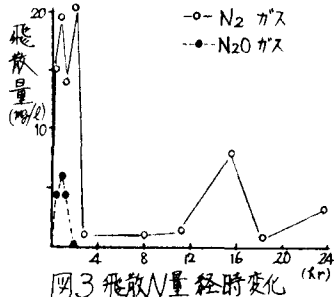


図3 飛散N量経時変化